

道路公団 正員 細木 康夫  
山口大学 正員 會田 忠義

1. まえがき 高速鉄道車両による橋げたの動的応答が、低速走行可車両によるそれと比べて大きくなることから、編成列車の軸距の影響、すなわち、周期性鉛直荷重による強制振動の問題として、これまでに詳しく調査され設計に反映されていっている。<sup>1)</sup> 本研究は、上記の強制振動の問題と異なり、車軸などのはばね下質量が橋げた上を移動するとき、橋げたの質量が周期的に変動することによる応答問題である。新幹線車両は1車両の車体重量39tに対して、1台車の重量は約10t、その内車輪が約5tである。車輪がけたと1体となって運動するときを考えると、けたに対する付加重量は約5tである。また、車両の枕ばね(0.9%)に対して軸ばね(5.2%)が硬いことを考えると、けたに対する付加重量は10tに近いものになることが予想される。したがって、付加重量に対する質量の比はけたのスパンによっても異なるが、コンクリート橋ではスパン30mで5%，スパン10mで16%，鋼橋げたではスパン30mで10%，スパン16mで40%にもなる。ここでは鋼橋げたを対象として、付加重量が一定速度でけた上を移動するとき、けたの運動方程式がHill方程式になることを示し、若干のけたに対する安定図を示す。

2. けたの運動方程式と境界振動方程式 図-1を参考にするとき、  
けたの運動方程式は次式で表わされる。

$$\begin{aligned} m(\ddot{U}_s + Y_s \dot{\theta}) + EI_{xx} \ddot{U}_s - \bar{g}_x &= 0, \\ m(\ddot{U}_s - X_s \dot{\theta}) + EI_{yy} \ddot{U}_s - \bar{g}_y &= 0, \\ \mu I_{ps} \ddot{\theta} + m(Y_s \ddot{U}_s - X_s \ddot{U}_s) + EI_w \ddot{\theta} - Gk\theta'' + \bar{g}_x(C_{ix} - Y_s) \\ - \bar{g}_y(C_{iy} - X_s) + \bar{M}_s &= 0. \end{aligned} \quad \cdots (1)$$

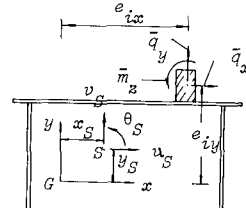


図-1

ここで、 $m$ : けたの単位長さ質量、 $\mu I_{ps}$ : けたの単位長さ質量の慣性モーメント

$-EI_{xx}$ ,  $EI_{yy}$ : 曲げ剛性、 $EI_w$ : 曲げせんじ剛性、 $Gk$ : ケイジ剛性、 $(\cdot)' = \frac{d}{dt}$ ,  $(\cdot)'' = \frac{d^2}{dt^2}$ .

$\bar{g}_x$ ,  $\bar{g}_y$  &  $\bar{M}_s$  は荷重。質量による付加慣力及び慣性モーメントについて、図-2のよう荷重の集中質量が分布し、速度  $v$  で移動するとき、次式で表わされる。式中、 $M_0$ : 荷重の集中質量、 $J_0$ : 集中質量の慣性モーメント。

$$\begin{aligned} \bar{g}_x &= \left\{ -M_0 \sum_{j=1}^n \{ \ddot{U}_s - (C_{iy} - Y_s) \dot{\theta} \} \delta(z - \xi(z_j)) \right\} \delta(z - \xi(z_j)) \quad 0 \leq t < T_s, \\ &\quad \left\{ -M_0 \sum_{j=1}^n \{ \ddot{U}_s - (C_{iy} - Y_s) \dot{\theta} \} \delta(z - \xi(z_j)) \right\} \delta(z - \xi(z_j)) \quad T_s \leq t \leq T_p \end{aligned}$$

$$\begin{aligned} \bar{g}_y &= \left\{ -M_0 \sum_{j=1}^n \{ \ddot{U}_s + (C_{ix} - X_s) \dot{\theta} \} \delta(z - \xi(z_j)) \right\} \delta(z - \xi(z_j)) \quad 0 \leq t < T_s, \\ &\quad \left\{ -M_0 \sum_{j=1}^n \{ \ddot{U}_s + (C_{ix} - X_s) \dot{\theta} \} \delta(z - \xi(z_j)) \right\} \delta(z - \xi(z_j)) \quad T_s \leq t \leq T_p \end{aligned}$$

$$\begin{aligned} \bar{M}_s &= \left\{ -J_0 \sum_{j=1}^n \dot{\theta} \delta(z - \xi(z_j)) \right\} \delta(z - \xi(z_j)) \quad 0 \leq t < T_s \\ &\quad \left\{ -J_0 \sum_{j=1}^n \dot{\theta} \delta(z - \xi(z_j)) \right\} \delta(z - \xi(z_j)) \quad T_s \leq t \leq T_p \end{aligned} \quad \cdots (2)$$

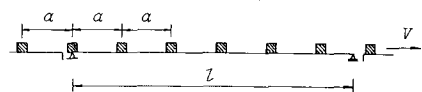


図-2

式(2)を(1)に代入、振動変位を次のように基準座標と基準関数の積で表わすとき、

$$U_s = \sum_{k=1}^N P_k(t) U_{sk}(z), \quad U_s = \sum_{k=1}^N \phi_k(t) U_{sk}(z), \quad \theta = \sum_{k=1}^N \psi_k(t) \theta_k(z), \quad \cdots (3)$$

運動方程式(1)は式(4)のように基準座標に関する運動方程式で表わされる。

$$(A + A_M) \ddot{f} + D \dot{f} + B f = 0 \quad \cdots (4)$$

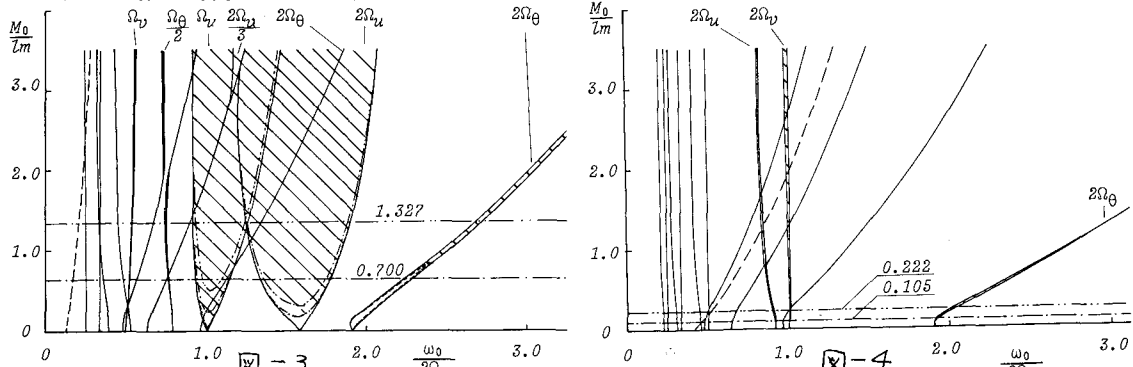
ここで、 $A$ : けたの質量行列、 $A_M$ : 付加質量、復量行列、 $D$ : 減衰行列、 $B$ : 剛性行列、 $f$ : 基準座標ベクトルである。 $A_M$ は式(2)より明らかなように、周期  $T_p$  をもつ周期関数である。したがって、式(3)は Hill 方程式に相当する。Hill方程式であることより、不安定振動(単純パラメトリック共振)を起す固有振動数は

不安定振動を起す境界の振動解を係数の周期と等しいか、2倍の周期とも調和振動を表わすとき、右記の境界振動数方程式から求められ。式中、 $\omega_0 = 2\pi/\tau_p = 2\pi/a$  : 荷重移動振動数と呼ぶ。

$$\begin{aligned} -\frac{\omega_0^3}{4} ([A]_1 + \frac{1}{2}[AM]_1) + \frac{\omega_0}{2} [D]_1 + [B]_1 &= 0, \\ -\frac{\omega_0^3}{4} ([A]_2 + \frac{1}{2}[AM]_2) + \frac{\omega_0}{2} [D]_2 + [B]_2 &= 0, \end{aligned} \quad \dots (4)$$

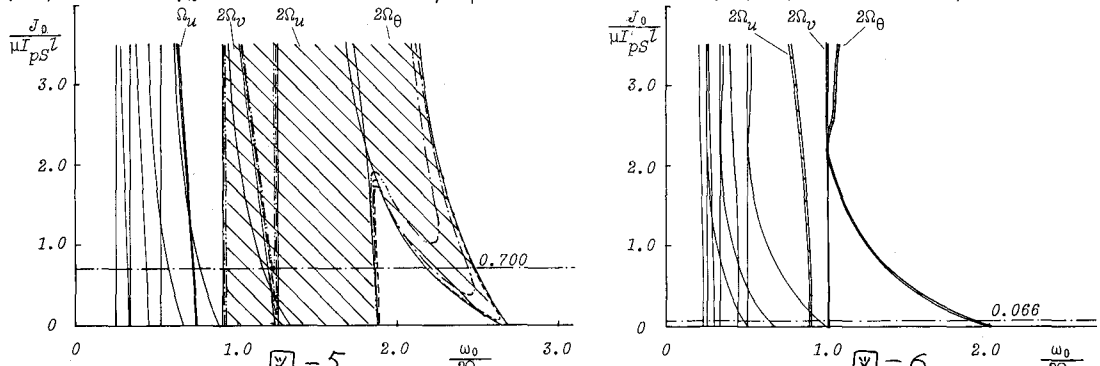
3. 橋げたの安定図 対象げたとして主げたの間隔を1.9m あとは2.0mに修正したKS-18用上路アーレートガーダに相当するけたを採用した。けたに対する付加重量と(1)車輪重量(5.85t)と車輪と台車重量(12.43t)を想定した。計算はAM中に含まれる  $M_0/lm$  あとは  $J_0/\mu I_{psl}$  が与えられたときの境界振動数  $\omega_0$  を式(4)より求め、安定図として図示した。 $\omega_0$  が求められると  $\omega_0 = 2\pi/a$  ( $a=12.5m$ ) の関係より速度  $V$  が求められる。

初めに、鉛直振動に対する付加質量の影響を調べるために、 $J_0/\mu I_{psl} = 0$  としてとその  $M_0/lm$  の変化に伴う不安定領域を求めて図-3 及び図-4 に示す。図-3 はスパン12.9m、図-4 はスパン31.5m のけたの安定図である。



図中、水平の一実線は車輪のみが付加質量と考えた場合の  $M_0/lm$  の位置で、二実線は車輪と台車が付加質量である場合の位置である。斜線部分が不安定領域であり、 $M_0/lm$  の増加に伴って不安定化することがわかる。図中の斜めの破線は  $V=300km/h$  の位置を示し、スパン12.9mでは、かなり高速で不安定振動を起す。スパンが31.5mではこの速度内に不安定領域があることを示している。しかし、このけたの  $M_0/lm$  は図より明るくなり、小エー、低位置にあるので現実に不安定振動の起る可能性が低いことを示している。

次に、水平・ねじり振動に対する付加質量の影響を、スパン12.9m 及び31.5m のけたについて、車輪と台車が付加質量となり  $M_0/lm$  が与えられたときの  $J_0/\mu I_{psl}$  の変化に伴う不安定領域を図-5 及び図-6 に示す。



図中、水平の一実線は車輪と台車の  $J_0/\mu I_{psl}$  の値を示している。この場合でも、実験で不安定振動の起る可能性は小エーことがわかる。

- 1) 松浦：高速鉄道における橋桁の動的応答に関する研究、鉄道技術研究報告、No.1074、1978年3月。
- 2) T.Aida: Dynamic Stability of Thin Walled Beams under Traveling Flawed Load Systems, Journal of Sound and Vibration, Vol. 86, No.2, pp.265~277 (1983).